

ارزیابی فاکتور افزایش دوز با استفاده از نانوذرات بور و گادولینیوم در تومور در پرتو درمانی به روش شکار نوترونی از طریق شبیه سازی مونت کارلو

ابراهیم گلمکانی^۱، رضا گنجی^۲، محسن آبادی^۳، هما رضایی مقدم^۴، مهدی بخش آبادی^۵، محمد مهرپویان^۶، محسن خسرو آبادی^{۷*}

دکتر رامین شهرآیینی^۸

^۱ استادیار گروه بیهوده، دانشکده پزشکی، دانشگاه علوم پزشکی مشهد، مشهد، ایران

^۲ استادیار ارتقای، دانشکده پزشکی، دانشگاه علوم پزشکی خراسان شمالی، بجنورد، ایران

^۳ استادیار گروه بیهوده، دانشکده پزشکی، دانشگاه علوم پزشکی خراسان شمالی، بجنورد، ایران

^۴ دانشجوی کارشناسی ارشد، گروه فیزیک پزشکی، دانشکده پزشکی مشهد، مشهد، ایران

^۵ کارشناس ارشد فیزیک هسته ای، معاونت پژوهشی، دانشگاه علوم پزشکی خراسان شمالی، بجنورد، ایران

^۶ مریم گروه بیوشیمی و تغذیه، دانشکده پزشکی، دانشگاه علوم پزشکی سبزوار، سبزوار، ایران

^۷ مریم فیزیک پزشکی، دانشکده پزشکی، دانشگاه علوم پزشکی خراسان شمالی، بجنورد، ایران

^۸ استادیار گروه رادیولوژی، دانشکده پزشکی، دانشگاه علوم پزشکی سبزوار

نشانی نویسنده مسئول: بجنورد، خیابان شریعتی جنوی، کوچه شهید کریمی راد، معاونت تحقیقات و فناوری، دانشگاه علوم پزشکی خراسان شمالی، محسن خسرو آبادی

E-mail: mohsen.khosroabadi83@gmail.com

وصول: ۹۳/۳/۲۲، اصلاح: ۹۳/۵/۹، پذیرش: ۹۳/۶/۷

چکیده

زمینه و هدف: هدف این مطالعه بررسی اثر افزایش دوز تومور با حضور بور-۱۰ و گادولینیوم-۱۵۷ و نانوذرات آنها در پرتو درمانی به روش شکار نوترونی به روش مونت کارلو می باشد.

مواد و روش ها: یک چشمکه کالیفرنیوم-۲۵۲ مدل AT با استفاده از کد مونت کارلو MCNPX شبیه سازی شد و پارامترهای دوزیمتري آن محاسبه و با سایر مطالعات مقایسه شد. از چشمکه کالیفرنیوم-۲۵۲ به عنوان چشمکه نوترون استفاده شد و افزایش دوز در داخل تومور در حضور بور-۱۰، گادولینیوم-۱۵۷، نانوذرات بور-۱۰ و نانوذرات گادولینیوم-۱۵۷ برای غلظت های ۱۰۰، ۲۰۰ و ۵۰۰ پی ام از مواد شکار مذکور، در درمان به روش شکار نوترونی مورد مقایسه قرار گرفت. برای این منظور اطراف چشمکه کالیفرنیوم-۲۵۲، یک فانتوم بافت نرم و یک تومور شامل هر کدام از مواد شکار، در نظر گرفته شد.

یافته ها: پارامترهای دوزیمتري مقادیر قدرت کرمای هوا و ثابت آهنگ دوز محاسبه شده برای چشمکه کالیفرنیوم-۲۵۲ به ترتیب برابر $0/306$ $cGy/cm^2/h\mu g$ و $5/782$ cGy/Uh می باشد. در بین مواد مورد بررسی، بیشینه فاکتور افزایش دوز برای غلظت ۵۰۰ پی ام بور-۱۰ و نانوذرات بور-۱۰ به دست آمد که برای این مواد به ترتیب برابر با $1/06$ و $1/08$ به دست آمده است.

نتیجه گیری: اختلاف قدرت کرمای هوا و ثابت آهنگ دوز به دست آمده در مطالعه حاضر با سایر مطالعات به ترتیب $7/27$ و $1/10$ درصد می باشد. از نظر افزایش دوز، مواد شکار محتوی بور-۱۰ برای استفاده در درمان به روش شکار نوترونی عوامل بهتری هستند. در غلظت های یکسان، فاکتور افزایش دوز برای مواد شکار به صورت نانوذره بالاتر از زمان حضور مواد شکار به صورت اتمی می باشد. بنابراین، استفاده از نانوذرات مواد شکار نسبت به استفاده از مواد شکار به صورت اتمی، ترجیح داده می شود. با این حال قبل از استفاده بالینی از این عوامل شکار در درمان به روش شکار نوترونی، سایر معیارهای پزشکی، شبیه سازی و فیزیکی برای مقایسه آنها مورد توجه قرار گیرند.

کلمات کلیدی: نانوذرات، فاکتور افزایش دوز، درمان به روش شکار نوترونی، شبیه سازی مونت کارلو.

مقدمه

انرژی و شدت مناسب بر روی تومور تابانیده شود، ذرات آلفا و لیتیوم حاصل از برهم کنش نوترون با بور-۱۰ (که ذرات پر انرژی با برد کم می‌باشند) می‌توانند باعث نابودی سلول‌های سرطانی در نزدیکی انجام واکنش شوند. به جز بور، از ترکیبات دیگری نیز استفاده شده است. می‌توان این مواد را به صورت ساختارهایی از نانوذرات طراحی کرد، تا به صورت اختصاصی در بافت توموری جذب شوند، و با افزایش جذب اشعه در تومور به واسطه بالا بودن ضریب جذب، سبب افزایش دوز در تومور شوند (۴).

اخیراً در تحقیقی که در سال ۲۰۱۱ توسط پوراس انجام شد، افزایش اثر درمان به روش شکار نوترونی با حضور بور-۱۰ (BNCT) در نزدیکی سطح حجم تومور با اضافه کردن نانوذرات ایزوتوپ ^{33}S گوگرد (^{33}S) مطالعه شده است. نتایج این شبیه سازی افزایش قابل توجهی در دوز معادل نوترون در بافت، در جاهایی که ایزوتوپ ^{33}S با غلظت بالا وجود دارد، را نشان داد، ولی در این تحقیق انرژی نوترون پایین در نظر گرفته شده است ($13/5 \text{ keV}$) که خیلی پایین تر از انرژی نوترون های تابش شونده از کالیفرنیوم-۲۵۲ است (۵). تحقیقی دیگر نیز در سال ۲۰۰۸ توسط پترسن و همکارانش انجام شد که به بررسی اثر نانوذرات بور-۱۰ در درمان به روش شکار نوترونی پرداخته شد (۶). همچنین در تحقیقی که در سال ۲۰۱۰ توسط چو و همکارانش انجام شد، اثر افزایش دوز ناشی از وجود نانوذرات طلا با غلظت‌های مختلف در بافت توموری در کاربرد چهار چشمۀ برآکی تراپی گسیل کننده گاما بررسی شد. برای این منظور، اثر افزایش دوز برای چهار چشمۀ برآکی تراپی و همچنین اثر افزایش دوز سیس پلاتین که یک ماده شیمی درمانی می‌باشد، با استفاده از کد مونت کارلو MCNPX محاسبه شد (۷).

در مطالعه‌ای که در سال ۲۰۰۹ توسط قسون و همکارانش انجام شد به ارزیابی توزیع آهنگ دوز و تعیین

یکی از روش‌های نوین درمان سرطان‌ها به خصوص تومور‌های مغزی (نوع گلیوبلاستوما) و سرطان پوست (نوع ملانوما) استفاده از روش پرتو درمانی با حضور بور-۱۰ می‌باشد. حدود سه سال پس از کشف نوترون، واکنش $^{10}\text{B}(\text{n},\alpha)^7\text{Li}$ توسط تیلر و همکارانش در سال ۱۹۳۵ تشریح شد. سطح مقطع این واکنش برای نوترون‌های گرمایی زیاد است (۳۸۳۷ بارن) و در $6/3$ درصد از حالات انرژی ذرات آلفا و لیتیوم به ترتیب برابر با $1/01 \text{ MeV}$ و $1/78 \text{ MeV}$ است. برد ذرات^a در آب به ترتیب برابر با $8/9$ و $4/5$ میکرومتر است. همچنین در $93/7$ درصد حالات، انرژی این ذرات به ترتیب برابر با $1/47 \text{ MeV}$ و $0/84 \text{ MeV}$ است و برد آنها در آب به ترتیب برابر با $7/2$ و $4/1$ میکرومتر است (۱). طول آزاد میانگین گاماها ای که در مرحله دوم تولید می‌شوند در حدود 10 سانتی‌متر است. به این ترتیب انرژی حاصل از این واکنش در محدوده ای با ابعاد 9 میکرومتر آزاد می‌شود که این فاصله قابل مقایسه با ابعاد سلول است. در این روش دو عامل مورد نظر قرار می‌گیرند، عامل اول ترکیباتی از ^{10}B می‌باشد که در محل مورد نظر تمرکز یافته و عامل دوم تابش نوترون‌های با طیف انرژی مناسب می‌باشد (۲). پس از تابش، هسته‌های بور-۱۰ با شکار نوترون در طی واکنشی به ذرات آلفا و هسته‌های لیتیوم تبدیل می‌شوند و پاره‌های سنگین و پر انرژی شکافت را تولید می‌کنند. با توجه به این که برد محصولات این واکنش در حدود ابعاد سلولی است، با تخلیه انرژی خود در سلول‌های سرطانی باعث نابودی آنها می‌شوند (۳).

در سال ۱۹۳۶ امکان استفاده از این واکنش برای نابودی سلول‌های سرطانی توسط لاجر پیشنهاد شد. وی اظهار داشت اگر بتوان هسته‌های بور-۱۰، (که یک ایزوتوپ پایدار است) را از طریقی به درون سلول‌های تومور متتمرکز کرده و سپس باریکه ای از نوترون‌ها با

از بور-۱۰ روی گستره ای از فاصله های بالینی در برآکی تراپی با چشمہ بالینی کالیفرنیوم-۲۵۲ بر روی فانتوم مغز اجرا شد و این نتایج با اندازه گیری های تجربی و محاسبات در مقالات منتشر شده قبلی مقایسه شد. در این تحقیق از کد MCNP4B با یک توزیع فضایی برای محاسبه طیف انرژی نوترون و توزیع ذرات بور-۱۰ در روش شکار نوترونی استفاده شد. از این بررسی نتیجه گیری شد که برای غلظت های کم تر از ۵۰ میکرو گرم بر گرم برای بور-۱۰ افزایش دوز BNC در مقایسه با دوز نوترون سریع کالیفرنیوم-۲۵۲ کم تر است. در نهایت از مشاهدات این تحقیق چنین نتیجه گیری شد که کالیفرنیوم-۲۵۲ می تواند چشمہ مفیدی برای نوترون در کار بالینی به روش شکار نوترونی باشد. ولی، ضرورتاً نیازمند افزایش غلظت بور-۱۰ در تومور خواهیم بود(۹). در این تحقیق فقط به بررسی اثر حضور بور-۱۰ با غلظت های مختلف و فاصله های متفاوت از چشمہ پرداخته شده است که نیاز به مطالعه بر روی مواد مختلف به صورت نانوذرات با غلظت های متفاوت احساس می شود.

در تحقیقی که در سال ۲۰۱۰ توسط چو و همکارانش انجام شد، اثر افزایش دوز ناشی از وجود نانوذرات طلا با غلظت های مختلف در بافت توموری برای چهار چشمہ برآکی تراپی گسیل کننده گاما بررسی شد (۷). برای این منظور اثر افزایش دوز برای چهار چشمہ برآکی تراپی سزیوم-۱۳۷، ایریدیوم-۱۹۲، ید-۱۲۵ و پالادیوم-۱۰۳ با استفاده از کد مونت کارلو MCNPX محاسبه شد. همچنین اثر افزایش دوز سیس پلاتین که یک ماده شیمی درمانی می باشد، نیز بررسی شد. در ابتداء، مدل های ارایه شده در شبیه سازی با مقایسه توابع دوزیمتري به دست آمده با توابع دوزیمتري ارایه شده توسط گزارش گروه کاری ۴۳ انجمن فیزیک پزشکی آمریکا ارزیابی شدند. بیشینه مقادیر میانگین فاکتور افزایش دوز به دست آمده برای چهار چشمہ سزیوم،

تأثیر بور-۱۰ در توزیع آهنگ دوز برای چشمہ کالیفرنیوم-۲۵۲ در برآکی تراپی پرداخته شد. این مطالعه با استفاده از شبیه سازی مونت کارلو انجام شد. برای اعتبارسنجی کد کامپیوتری مونت کارلو، پارامترهای دوزیمتري با توابع دوزیمتري ارایه شده توسط گزارش گروه کاری ۴۳ انجمن فیزیک پزشکی آمریکا تأیید و با اطلاعات مقالات موجود مقایسه شد. سپس کد کامپیوتری تأیید شده، برای ارزیابی توزیع دوز فوتون و نوترون و انبات تاثیر حضور بور-۱۰ اعمال شد. در این مقاله، دوزیمتري کاملی برای کالیفرنیوم-۲۵۲ در فانتوم آب انجام شد و با استفاده از محاسبات سه بعدی مونت کارلو تأیید شد. مقایسه ای بین نتایج مونت کارلو با تجربه و آنالیز داده های دوزیمتري در مقالات چاپ شده نیز ارایه شدمولفه های دوز فردی و دوز تجمعی نوترون ها و گامای ثانویه و پرتوهای گامای چشمی در آب با دقت آماری بالا محاسبه شد. محاسبات توزیع آهنگ دوز بور-۱۰ با غلظت های مختلف بور-۱۰ و در فاصله های مختلف از چشمی اجرا شد. نتایج نشان دادند که مقدار افزایش دوز با این طراحی درمان فقط به حضور بور-۱۰ در تومور بستگی ندارد؛ بلکه، به فاصله از چشمی هم بستگی دارد. طبق نتایج این تحقیق افزایش دوز قابل توجهی در سلول های تومور در فاصله ای چند سانتی متری از چشمی کالیفرنیوم-۲۵۲ با بیشتر شدن غلظت بور-۱۰ قابل دستیابی می باشد (۸). در این تحقیق فقط به بررسی حضور ساده یک ماده با غلظت ثابت پرداخته شده است که برای تکمیل این بررسی نیازمند مطالعه بر روی مواد متفاوت با غلظت های مختلف به صورت نانوذرات می باشد.

در تحقیقی که توسط ریوارد و همکارانش در سال ۲۰۰۴ انجام شد، درمان با استفاده از ترکیبات بور-۱۰ برای افزایش دوز با روش شکار نوترونی (NCT) در برآکی تراپی با کالیفرنیوم-۲۵۲ بررسی شد. محاسبات مونت کارلو برای ارزیابی افزایش دوز برای غلظت هایی

در این تحقیق نیاز به استفاده از غلظت های مختلف از نانوذرات احساس می شود.

لازم به ذکر است که تا جایی که محققین مطالعه حاضر اطلاع دارند، تاکنون بر روی چشمہ کالیفرنیوم-۲۵۲ با حضور نانوذرات بور-۱۰ با غلظت های مختلف مطالعه ای در این زمینه انجام نشده است. از آن جا که امروزه مواد کتراست زای متععددی در دسترس است، و نیز اهمیت تعیین بهترین ماده کتراست برای پرتو درمانی با شکار نوترونی، ضروری به نظر می رسد که برای انجام درمان های موفق و مؤثر باید مطالعات تکمیلی بیشتری در زمینه انتخاب نوع ماده کتراست زا و غلظت های متفاوت انجام شود. لذا، در این مطالعه اثر افزایش دوز در بافت با حضور نانوذرات بور-۱۰ و گادولینیوم-۱۵۷ در حضور چشمہ نوترون کالیفرنیوم-۲۵۲ برای غلظت های مختلف این مواد در فاصله نزدیک به چشم، به صورت کمی مورد بررسی قرار گرفت.

مواد و روش ها

هندسه چشم

در این مطالعه، چشمہ کالیفرنیوم-۲۵۲ مدل AT به عنوان یک چشمہ نوترون استفاده شد. نمایی از این چشمہ در شکل (۱) نشان داده شده است. همان طور که در این شکل دیده می شود، چشمہ کالیفرنیوم-۲۵۲ شامل یک هسته فعال، کپسول اولیه و کپسول ثانویه می باشد. هسته فعال از جنس $Pd:Cf_2O_3$ به طول $1/5$ سانتی متر و شعاع $0/615$ میلی متر می باشد. کپسول اولیه از 90 درصد پلاتین و 10 درصد ایریدیوم، با قطر داخلی و خارجی به ترتیب $1/35$ و $1/75$ میلی متر می باشد. طول داخلی و خارجی آن به ترتیب $15/50$ و $17/78$ میلی متر می باشد. کپسول ثانویه از جنس همان کپسول اولیه با طول داخلی و خارجی $17/82$ و $23/14$ میلی متر و قطر داخلی و خارجی آن نیز به ترتیب $1/80$ و $2/80$ میلی متر می باشد. همچنین یک روزنه با قطر $0/635$ میلی متر در

ایریدیوم، ید و پالادیوم به ترتیب: $1/03$ ، $1/11$ ، $3/43$ و $2/17$ گزارش گردید. افزایش دوز برای چشمه های کم انرژی به طور قابل ملاحظه ای از افزایش دوز چشمه های پرانرژی بیشتر گزارش شد. مقادیر افزایش دوز سیس پلاتین نیز با مقادیر نظیر برای نانوذرات طلا قابل مقایسه بود. بیشترین مقدار فاکتور افزایش دوز میانگین برای سیس پلاتین با غلظت 5 درصد بود و مقدار آن برابر با $1/12$ بود. در این تحقیق چنین نتیجه گیری شد که می توان با حضور سیس پلاتین در تومور، روش شیمی درمانی را با روش پرتو درمانی به منظور درمان سرطان ترکیب کرد. از نتایج به دست آمده از این تحقیق می توان در مطالعه اثر افزایش دوز در درمان با حضور مواد با عدد اتمی بالا استفاده کرد. در این تحقیق نیاز به بررسی اثر غلظت بر مواد شیمی درمانی در افزایش دوز و همچنین غلظت های مختلف از نانوذرات احساس می شود.

در تحقیق تجربی دیگری که در سال ۱۹۹۴ توسط ویرزیکی انجام شد به محاسبه شار نوترونهای گرمایی در درمان به روش شکار نوترونی با حضور بور-۱۰ (BNCT) و گادولینیوم-۱۵۷ (GdNCT) پرداخته شد (۱۰). کالیفرنیوم-۲۵۲ یک عنصر ساطع کننده نوترون با شار ثابت است. برای اندازه گیری افزایش دوز شکار نوترونی (NC) با چشمہ کالیفرنیوم-۲۵۲، آگاهی از شار فوتون های گرمایی در مغز ضرورت دارد. شار در فانтом سر با استفاده از روش فعال سازی ورقه طلا بررسی شد که این ورقه در فانтом سر قرار داده شد. طلای 127 تحت تابش با نوترون به طلای 128 رادیواکتیو تبدیل می شود. نتایج نشان دادند که تأثیر چشمه های کالیفرنیوم-۲۵۲ مورد استفاده در برآکی تراپی می تواند به وسیله نوترون های گرمایی، که از کند شدن نوترون های سریع حاصل می شوند، افزایش یابد. همچنین اطلاعات تجربی نشان دادند که وقتی درمان به روش شکار نوترونی در حضور بور-۱۰ و گادولینیوم-۱۵۷ با چشمہ کالیفرنیوم-۲۵۲ انجام می شود، می توان افزایش دوزی را انتظار داشت.

در این مطالعه علاوه بر پارامتر های TG-43 آهنگ دوز کل به ازای یک میکروگرم از چشم کالیفرنیوم- 252 ($\text{cGy/h} \cdot \mu\text{g}$) نیز محاسبه شد. در این جا منظور از دوز کل، مجموع سهم دوز نوترون، فوتون اوئیه و فوتون ثانویه حاصل از تراکنش های نوترون چشم می باشد. طیف فوتون چشم کالیفرنیوم، فوتون هایی با انرژی بین 0.01 تا 10 مگا الکترون ولت می باشد (۱۳). یک میکروگرم از کالیفرنیوم- 252 تعداد 2.314×10^6 نوترون سریع بر ثانیه (۱۴) و تعداد 1.3×10^7 فوتون بر ثانیه (۱۵) ساطع می کند. جهت طیف نوترون چشم کالیفرنیوم، از توزیع ماسکول در برنامه مونت کارلو استفاده شد. در این مرحله از تالی F6 جهت اندازه گیری دوز نوترون و فوتون استفاده شد. جهت محاسبه دوز کل، دو فایل ورودی اجرا شد. در فایل ورودی اوّل جهت اندازه گیری مؤلفه دوز فوتون اوئیه، از چشم مفتوح با طیف انرژی فوتون استفاده شد و تالی فوتون اندازه گیری شد. در برنامه دوم از طیف انرژی نوترون برای چشم کالیفرنیوم- 252 استفاده شد و تالی فوتون و نوترون جهت اندازه گیری مؤلفه های فوتون ثانویه و نوترون در نظر گرفته شد. تعداد 2×10^8 فوتون در هر کدام از فایل ها اجرا شد. در هر دو برنامه بیشینه خطای مونت کارلو $6/60$ درصد گزارش شد.

جهت تأیید شبیه سازی چشم کالیفرنیوم- 252 مدل AT، مقادیر به دست آمده برای DRC، RDF و دوز کل با اطلاعات متناظر در سایر مطالعات بر روی این مدل چشم، مقایسه شد.

بررسی افزایش دوز تومور در حضور نانوذرات

جهت بررسی فاکتور افزایش دوز، توموری به صورت مکعب با ابعاد $1 \times 1 \times 1$ cm³ در فاصله یک سانتی متر از محور مرکزی چشم در نظر گرفته و توسط کد MCNPX مونت کارلو شبیه سازی شد. این مجموعه درون یک فانتوم به شعاع ۱۵ سانتی متر از بافت نرم در نظر گرفته شد (شکل ۲). در این مطالعه از بافت نرم

انتها کپسول خارجی قرار دارد.

محاسبه پارامترهای TG-43

پارامترهای TG-43 از قبیل ثابت آهنگ دوز (DRC)، تابع دوز شعاعی (RDF)، قدرت کرمای هوا (AKS) برای چشم محسوبه شد و با داده های منتشر شده از مطالعه ریوراد و همکاران (۱۱) برای این چشم مقایسه شد. برای محاسبه پارامتر ثابت آهنگ دوز از کد مونت کارلو MCNPX ورژن $2.6/0$ استفاده شد (۱۲).

برای محاسبه AKS که در محاسبه DRC به کار می رود به این طریق عمل شد که چشم را درون کره ای از خلا $0/25$ به شعاع 100 سانتی متر قرار دادیم و از فاصله 150 سانتی متری تا فاصله 100 سانتی متری از چشم، چنبه هایی از جنس هوا در نظر گرفته شد. کرمای هوا به کمک R^2 (F6 در این چنبه ها از مرکز چشم در راستای محور عرضی می باشد) ضرب و سپس مقادیر حاصله بر حسب R رسم شد. در ناحیه ای که $f6 \times R^2$ ثابت و یکنواخت می شود (30 تا 150 سانتیمتری) میانگین گیری شده و از عدد حاصل در محاسبه AKS استفاده شد. این برنامه برای تعداد 10^7 ذره اجرا شد. حداقل خطای مونت کارلو برای این برنامه $0/85$ درصد گزارش شد.

برای محاسبه DRC دوز جذبی، کره ای به شعاع 15 سانتی متر که درون آن با آب پر شده بود و چنبه ای به ضخامت 0.05 cm و پهنای 0.05 cm که در فاصله 1 cm از چشم قرار گرفته بود، تعریف شد. سپس با تالی F6 مقدار آهنگ دوز در آن نقطه به دست آمد.

تابع دوز شعاعی به این صورت حساب شد که چشم در مرکز کره ای به شعاع 15 سانتی متر محتوى آب قرار داده و در چنبه هایی به صورت عرضی در فواصل $0/25$ تا 10 سانتی متر محاسبه شد. این برنامه برای 10^7 ذره محاسبه شد؛ به طوری که حداقل خطای $0/78$ درصد به دست آمد. سپس شار به کمک تالی F4* در سلول های مذکور محاسبه شد.

دوز کل در این مرحله، مجموع مؤلفه های دوز فوتون ها، نوترون ها و تولیدات واکنش شکار می باشد. واضح است که نوع تولیدات واکنش شکار به نوع عامل شکار بستگی دارد. در حضور بور-۱۰، دوز کل شامل دوز بور، نوترون، فوتون ثانویه و فوتون اوئیه می باشد. و مؤلفه های دوز کل در حضور گادولینیوم-۱۵۷ شامل نوترون، فوتون ثانویه و فوتون اوئیه می باشد. در غیاب مواد شکار در تومور، محاسبات دوز کل شامل بور-۱۰ و گادولینیوم-۱۵۷ با غاظت های ۱۰۰ و ۵۰۰ پی پی ام، یک برنامه جداگانه نوشته و ران شد. مواد چگالی مخلوط بافت و نانوذرات در غلظت های مختلف متفاوت بود که در شبیه سازی لحاظ شد. پارامتر DEF در روی مقطع مرکزی در راستای محور X به صورت تقسیم مقدار دوز دریافت شده در یک نقطه در بافت توموری در حالتی که نانوذره در بافت وجود دارد، تقسیم به دوز در همان نقطه در حالتی که در داخل بافت توموری نانوذره وجود ندارد، تعریف شد.

یافته ها

ضریب تبدیل AKS برای چشم کالیفرنیوم-۲۵۲ مدل AT مقدار $0.306 \text{ cGy cm}^2/\text{h}\mu\text{g}$ مشخص شد. ریوارد و همکارانش (۱۷) برای این مدل از چشم مقدار AKS را $0.330 \text{ cGy cm}^2/\text{h}\mu\text{g}$ گزارش کرده اند؛ که مقدار $0.27 \text{ cGy cm}^2/\text{h}\mu\text{g}$ درصد اختلاف دارد. مقدار DRC، 5.782 cGy/Uh می باشد و همین مقدار توسط پارادس و همکارانش (۱۸) مقدار

مؤلفه ای ICRU اکسیژن (٪ ۷۰/۸)، کربن (٪ ۱۴/۳)، هیدروژن (٪ ۱۰/۲)، نیتروژن (٪ ۳/۴)، سدیوم (٪ ۰/۲)، فسفر (٪ ۰/۳)، گوگرد (٪ ۰/۳)، کلر (٪ ۰/۲) و پتاسیوم (٪ ۰/۳) به چگالی $1/0.6$ گرم بر سانتی متر مکعب استفاده شد (۱۶).

به منظور اندازه گیری DEF در هر کدام از حالت ها در حضور بور-۱۰ و گادولینیوم-۱۵۷ و نانوذرات بور-۱۰ و نانوذرات گادولینیوم-۱۵۷ با غاظت های ۱۰۰ و ۵۰۰ پی پی ام، یک برنامه جداگانه نوشته و ران شد. مواد چگالی مخلوط بافت و نانوذرات در غلظت های مختلف متفاوت بود که در شبیه سازی لحاظ شد. پارامتر DEF در روی مقطع مرکزی در راستای محور X به صورت تقسیم مقدار دوز دریافت شده در یک نقطه در بافت توموری در حالتی که نانوذره در بافت وجود دارد، تقسیم به دوز در همان نقطه در حالتی که در داخل بافت توموری نانوذره وجود ندارد، تعریف شد.

جهت تعریف نانوذرات در داخل تومور با استفاده از دستور شبکه (Lattice) در کد MCNPX ناحیه تومور را از نانوذراتی به ابعاد 50 nm و به طور دقیق به صورت کره هایی شبیه سازی شد.

جدول ۱: تابع دوز شعاعی $(g(r))$ به دست آمده برای چشم کالیفرنیوم-۲۵۲ مدل AT در مطالعه حاضر و مطالعه ملهموس و همکاران (۱۹)

دروصد اختلاف مطالعه ملهموس و همکاران (۱۹)	$g(r)$ مطالعه ملهموس و همکاران (۱۹)	دروصد اختلاف مطالعه حاضر $g(r)$ مطالعه حاضر	فاصله شعاعی (cm)
-	-	$1/0.17$	0.25
$6/19$	0.953	$1/0.12$	0.50
-	-	$1/0.10$	0.75
$0/..$	$1/0.00$	$1/0.00$	$1/0.00$
$-1/11$	0.992	0.981	$1/0.00$
$-1/54$	0.973	0.958	$2/0.00$
$-1/59$	0.944	0.929	$2/0.00$
$-1/97$	0.912	0.894	$3/0.00$
-	-	0.862	$3/0.00$
$-1/85$	0.838	0.825	$4/0.00$
-	-	0.784	$4/0.00$
$-1/85$	0.758	0.744	$5/0.00$
-	-	0.674	$6/0.00$
$-1/15$	0.609	0.602	$7/0.00$
-	-	0.534	$8/0.00$
-	-	0.471	$9/0.00$
$-2/59$	0.425	0.414	$10/0.00$

جدول ۲: آهنگ دوز کل به دست آمده بر حسب (cGy/h· μ g) برای چشمه کالیفرنیوم-۲۵۲ مدل AT در مطالعه حاضر و سایر مطالعات

فاصله شعاعی (cm)	مطالعه حاضر	مطالعه کریشناسومی	درصد اختلاف با مطالعه کلوت	درصد اختلاف با مطالعه کریشناسومی	(۲۱)
۰/۲۵	۲۱/۸۷۳	-	-	-	-
۰/۵۰	۸/۸۷۷	-	-	-	-
۰/۷۵	۴/۷۹۴	-	-	-	-
۱/۰۰	۲/۹۴۵	۲/۸۰۹	۲/۸۹۵	۴/۸۴	۱/۷۳
۱/۵۰	۱/۳۹۶	۱/۳۲۴	۱/۳۵۷	۵/۴۴	۲/۸۷
۲/۰۰	۰/۷۹۴	۰/۷۶۵	۰/۷۶۹	۳/۷۹	۳/۲۵
۲/۵۰	۰/۵۰۵	۰/۴۹۳	۰/۴۸۹	۲/۴۳	۳/۲۷
۳/۰۰	۰/۳۴۵	۰/۳۴۱	۰/۳۴۷	۴/۴۳	۴/۳۷
۳/۵۰	۰/۲۴۷	۰/۲۳۸	۰/۲۴۴	۳/۷۸	۱/۳۳
۴/۰۰	۰/۱۸۴	۰/۱۷۹	۰/۱۸۶	۲/۷۹	-۱/۰۸
۴/۵۰	۰/۱۴۱	۰/۱۴۲	۰/۱۴۶	-۰/۷۰	-۳/۴۲
۵/۰۰	۰/۱۱۱	۰/۱۱۲	۰/۱۱۸	-۰/۸۹	-۵/۹۳
۱۰/۰۰	۰/۰۲۰	-	-	-	-

جدول ۳: میانگین فاکتور افزایش دوز در داخل تومور در حضور بور-۱۰، گادولینیوم-۱۵۷، نانوذرات بور-۱۰ و نانوذرات گادولینیوم-۱۵۷ با غلظت های ۱۰۰، ۲۰۰ و ۵۰۰ پی پی ام

نوع ماده	غلظت	۱۰۰ پی پی ام	۲۰۰ پی پی ام	۵۰۰ پی پی ام
بور	۱/۰۶	۱/۰۳	۱/۰۱	۱/۰۳
گادولینیوم-۱۵۷	۱/۰۲	۱/۰۲	۱/۰۱	۱/۰۲
نانوذرات بور-۱۰	۱/۰۸	۱/۰۵	۱/۰۲	۱/۰۵
نانوذرات گادولینیوم-۱۵۷	۱/۰۳	۱/۰۰	۱/۰۲	۱/۰۳

گادولینیوم-۱۵۷ با غلظت های ۱۰۰، ۲۰۰ و ۵۰۰ پی پی ام در جدول (۳) نمایش داده شده است.

بحث

در این مطالعه چشمه کالیفرنیوم-۲۵۲ مدل AT شبیه سازی و پارامتر های دوزیمتری آن با مطالعات دیگر مقایسه شد. مقایسه AKS، RDF، DRC و دوز کل نشان دهنده توافق خوب بین دیتاهای این مطالعه و سایر مطالعات بر روی این مدل چشمه می باشد. سپس این چشمه نوترون جهت محاسبات افزایش دوز با حضور بور-۱۰ و گادولینیوم-۱۵۷ و نانوذرات آنها در غلظت های ۱۰۰، ۲۰۰ و ۵۰۰ پی ام در درمان به روش شکار نوترونی مورد استفاده قرار گرفت.

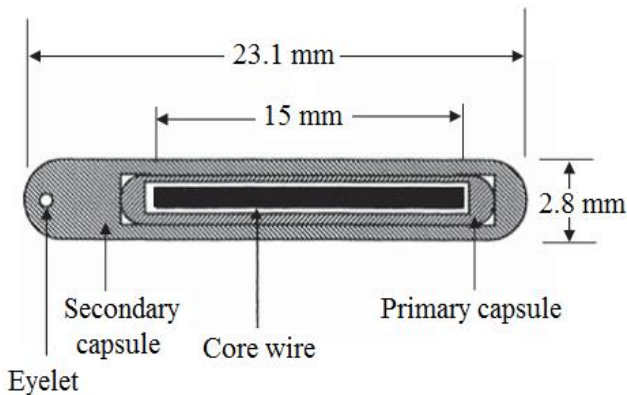
مقایسه DEF ها نشان می دهد که بیشترین برابر ۱/۰۶ و ۱/۰۸ می باشد که به ترتیب مربوط به حضور بور-۱۰ و نانوذرات بور-۱۰ در غلظت ۵۰۰ پی

۵/۷۱۹ cGy/Uh گزارش شد. که مقدار ۱/۱۰ درصد اختلاف دارد. مقادیر RDF در مطالعه حاضر و مطالعه ملهموس و همکاران (۱۹) در جدول (۱) نشان داده شده است. دوز کل در مطالعه حاضر، مطالعه کریشناسومی (۲۰) و کلوت (۲۱) در جدول (۲) نشان داده شده است. همچنین در این جدول، درصد اختلاف با مطالعات دیگر گزارش شده است.

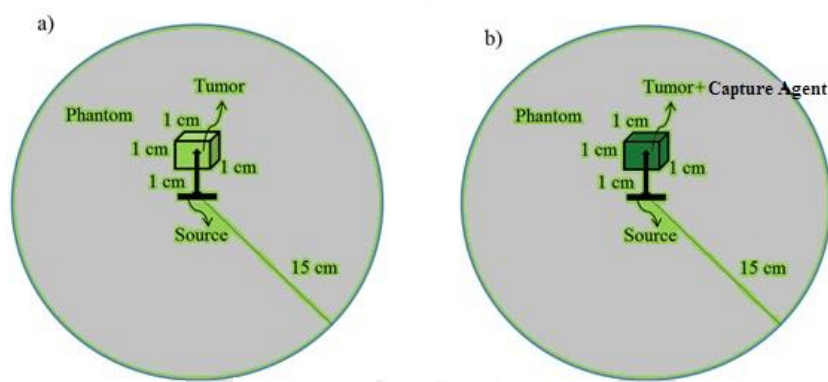
افزایش دوز

میانگین فاکتور افزایش دوز در داخل تومور بر روی محور عرضی در حضور بور-۱۰ و گادولینیوم-۱۵۷ و نانوذرات بور-۱۰ و نانوذرات گادولینیوم-۱۵۷ با غلظت های ۱۰۰، ۲۰۰ و ۵۰۰ پی پی ام در جدول (۳) نمایش داده شده است.

نمودار فاکتور افزایش دوز در داخل تومور نسبت به فاصله شعاعی از محور مرکزی چشم، در حضور بور-۱۰ و گادولینیوم-۱۵۷ و نانوذرات بور-۱۰ و نانوذرات



شکل ۱: چشمی کالیفرنیوم-۲۵۲ مدل AT شبیه سازی شده در مطالعه حاضر



شکل ۲: نمایی از هندسه شبیه سازی شده جهت اندازه گیری فاکتور افزایش دوز در مطالعه حاضر

b: در حضور ماده شکار در تومور

به مقدار میانگین نیز وجود دارند. نتایج نشان داد که بیشترین DEF برابر $1/18$ می باشد که مربوط به نانوذرات بور-۱۰ با غلظت 500 پی ام می باشد.

با مقایسه DEF مربوط به یک ماده خاص در غلظت های 100 ، 200 و 500 پی ام، مشاهده می شود؛ که میزان DEF با افزایش غلظت مواد شکار، زیاد می شود. علت این امر نیز می تواند این باشد که با افزایش غلظت مواد شکار، تعداد اتم هایی که در فرایند شکار شرکت می کنند نیز بیشتر می شود. با توجه به این قضیه، استفاده از غلظت زیاد از مواد شکار توصیه می شود؛ اما، ممکن است در عمل با محدودیت هایی مواجه شود و این قضیه غیر ممکن باشد.

با مقایسه میزان DEF ها در حضور مواد بور-۱۰ و گادولینیوم-۱۵۷ و نانوذرات آنها (جدول ۳)، به وضوح

پی ام می باشد. یک مزیت استفاده از نانوذرات ممکن است نفوذ به داخل تومور و افزایش تأثیر مواد باشد. از نقطه نظر افزایش دوز نتایج نشان می دهد که بور-۱۰ و نانوذرات بور-۱۰ بیشترین تاثیر را در افزایش دوز در درمان به روش شکار نوترونی دارند. با این حال، میزان افزایش دوز تنها یکی از عواملی هست که در انتخاب عامل شکار باید به آن توجه کرد. پارامتر های دیگری همچون عوارض جانبی بر روی بافت های سالم، میزان جذب آن توسط تومور نسبت به بافت های سالم و در دسترس بودن این مواد نیز باید در انتخاب مواد شکار در نظر گرفته شود.

به این نکته باید توجه شود که در جدول (۳) میانگین DEF ها گزارش شده است و در مورد هر ماده و هر غلظت خاص، نقاطی با DEF بالاتر و پایین تر نسبت

۱۰ و گادولینیوم-۱۵۷ و نانوذرات آنها در داخل تومور در درمان به روش شکار نوترونی با چشمۀ برآکی تراپی کالیفرنیوم-۲۵۲ تحت بررسی قرار گرفت. با این حال به نظر می‌رسد انجام مطالعه‌ای بر روی افزایش دوز در حضور مواد شکار مختلف در درمان به روش شکار نوترونی با چشمۀ خارجی نوترون ضروری می‌باشد. همچنین انجام اندازه‌گیری‌های تجربی در این زمینه نیز می‌تواند موضوع مطالعه در آینده باشد.

تشکر و قدردانی

از معاونت تحقیقات و فناوری دانشگاه علوم پزشکی خراسان شمالی جهت حمایت مالی این تحقیق تقدیر می‌گردد.

دیده می‌شود که در غلظت‌های یکسان، DEF برای مواد شکار به صورت نانوذره بالاتر از زمان حضور مواد شکار به صورت اتمی می‌باشد. بنابراین، استفاده از نانوذرات مواد شکار نسبت به استفاده از مواد شکار به صورت اتمی، ترجیح داده می‌شود.

اطلاعات فاکتور افزایش دوز در حضور مواد بور-۱۰ و گادولینیوم-۱۵۷ و نانوذرات آنها نشان می‌دهد که با وجود نوسانات در DEF در داخل تومور، میزان آهنگ دوز با افزایش فاصله شعاعی از محور مرکزی چشمۀ کاهش می‌یابد. در نتیجه، در طراحی درمان در درمان به روش شکار نوترونی باید به این نکته توجه کرد که نقاط مختلف در داخل تومور میزان DEF‌های متفاوتی را تجربه می‌کنند.

در این مطالعه میزان افزایش دوز با حضور بور-

References

- Landry G, Reniers B, Pignol J-P, Beaulieu L, Verhaegen F. The difference of scoring dose to water or tissues in Monte Carlo dose calculations for low energy brachytherapy photon sources. *Med Phys*. 2011;38(3):1526-33.
- Nath R, Bongiorni P, Rossi PI, Rockwell S. Enhanced IUDR radiosensitization by ^{241}Am photons relative to ^{226}Ra and ^{125}I photons at 0.72 Gy/hr. *International Journal of Radiation Oncology* Biology* Physics*. 1990;18(6):1377-85.
- Sweezy JE. Development of a boron neutron capture enhanced fast neutron therapy beam. *Georgia Institute of Technology*. 2002.
- Ghassoun J. Effect of tissue Inhomogeneities on dose distributions from Cf-252 brachytherapy source. *Appl Radiat Isot*. 2013; 71(1):1-6.
- Porras I. Sulfur-33 nanoparticles: A Monte Carlo study of their potential as neutron capturers for enhancing boron neutron capture therapy of cancer. *Appl Radiat Isot*. 2011;69(12):1838-41.
- Petersen MS, Petersen CC, Agger R, Sutmuller M, Jensen MR, Sørensen PG, Mortensen MW, Hansen T, Bjørnholm T, Gundersen HJ, et al. Boron nanoparticles inhibit tumour growth by boron neutron capture therapy in the murine B16-OVA model. *Anticancer Res*. 2008;28(2A):571-6.
- Cho S, Jeong JH, Kim CH, Yoon M. Monte Carlo simulation study on dose enhancement by gold nanoparticles in brachytherapy. *Journal of the Korean Physical Society*. 2010;56(6):1754-8.
- Ghassoun J, Chkillou B, Jehouani A. Spatial and spectral characteristics of a compact system neutron beam designed for BNCT facility. *Appl Radiat Isot*. 2009;67(4):560-4.
- Rivard MJ, Zamenhof RG. Moderated $<\sup>252</sup>$ Cf neutron energy spectra in brain tissue and calculated boron neutron capture dose. *Appl Radiat Isot*. 2004;61(5):753-7.
- Wierzbicki J, Maruyama Y, Alexander C. Boron neutron capture enhancement in Cf-252 brachytherapy. *Progress in Neutron Capture Therapy for Cancer*: Springer; 1992: 187-9.
- Rivard MJ, Coursey BM, DeWerd LA, Hanson WF, Huq MS, Ibbott GS, Ibbott RN, Williamson JF. Update of AAPM Task Group No. 43 Report: A revised AAPM protocol for brachytherapy dose calculations. *Med Phys*. 2002;29:1919-20.
- Toossi MT, Ghorbani M, Mowlavi AA, Taheri M, Layegh M, Makhdoumi Y, Meigooni AS. Air kerma strength characterization of a GZP6 Cobalt-60 brachytherapy source .*Rep Pract Oncol Radiother*. 2010;15(6):190-4.
- Kelm RS. In-water neutron and gamma dose determination for a new Cf-252 brachytherapy source: Georgia Institute of Technology. 2009.

14. Martin R, Miller J. Applications of Californium-252 Neutron Sources in Medicine, Research, and Industry. Americas Nuclear Energy Symposium. 2002.
15. Fantidis J, Potolias C, Vordos N, Bandekas D. Optimization study of a transportable neutron radiography system based on a ^{252}Cf neutron source. Moldavian Journal of the Physical Sciences. 2011;10(1):121-31.
16. ICRU. Tissue substitutes in radiation dosimetry and measurement(Report 44). ICRU, Bethesda.1989.
17. Rivard MJ, Wierzbicki JG, Van den Heuvel F, Martin RC, McMahon RR. Clinical brachytherapy with neutron emitting γ ^{153}Cs sources and adherence to AAPM TG-43 dosimetry protocol. MEDICAL PHYSICS-LANCASTER PA-. 1999;26:87-96.
18. Paredes L, Azorin J, Balcázar M, Francois J. Neutrons absorbed dose rate calculations for interstitial brachytherapy with ^{252}Cf sources. Nuclear Instruments and Methods in Physics Research Section A: Accelerators, Spectrometers, Detectors and Associated Equipment. 2007;580(1):582-5.
19. Melhus CS, Rivard MJ, Kirk BL, Leal LC. Clinical brachytherapy dosimetry parameters and mixed-field dosimetry for a high dose rate Cf-252 brachytherapy source. The Monte Carlo method: Versatility unbounded in a dynamic computing world, Amer Nuc Soc. 2005: 269.
20. Krishnaswamy V. Calculated depth dose tables for californium-252 sources in tissue. Physics in Medicine and Biology. 1974;19(6):886.
21. Colvett R, Rossi H, Krishnaswamy V. Dose distributions around a californium-252 needle. Physics in Medicine and Biology. 1972;17(3):356.

An assessment of Dose Enhancement Factor in Presence of Boron and Gadolinium Nanoparticles Inside Tumour in Neutron Capture Therapy by Monte Carlo Method

Ebrahim Golmakani,

Assistant Professor of Anesthesiology, Department of Anesthesiology, Faculty of Medicine, Mashhad University of Medical Sciences, Mashhad, Iran

Reza Ganji,

Assistant Professor of Orthopedics, Faculty of Medicine, North Khorasan University of Medical Sciences, Bojnurd, Iran

Mohsen Abad,

Assistant Professor of Anesthesiology, Department of Anesthesiology, Faculty of Medicine, North Khorasan University of Medical Sciences, Bojnurd, Iran

Homa Rezaei Moghaddam,

MSC of Medical Physics, Department of Medical Physics , Faculty of Medicine, Mashhad University of Medical Sciences, Mashhad, Iran

Mahdi Bakhshabadi,

MSC of Nuclear Physics, North Khorasan University of Medical Sciences, Bojnurd, Iran

Mohammad Mehrpouyan,

MSC of Medical Physics, Department of Nutrition and Biochemistry, Faculty of Medicine, Sabzevar University of Medical Sciences, Sabzevar, Iran

Mohsen Khosroabadi,

MSC of Medical Physics, Faculty of Medicine, North Khorasan University of Medical Sciences, Bojnurd, Iran

Ramin Shahraini

Assistant Professor of Radiology, Department of Radiology, Faculty of Medicine, Sabzevar University of Medical Sciences, Sabzevar, Iran

Received:12/06/2014, Revised:24/07/2014, Accepted:29/08/2014

Corresponding Author:

Mohsen Khosroabadi

Address: Bojnourd, South
Shariatee Street, Shahid Karimi
Rad Alley, Vice Chancellor for
Research and Technology, North
Khorasan University of Medical
Sciences.

E-mail:

mohsen.khosroabadi83@gmail.co
m

Abstract

Background: The aim of this study is to assess of dose enhancement effect in tumour in presence of ^{10}B , ^{157}Gd , ^{10}B nanoparticles and ^{157}Gd nanoparticles in radiotherapy through neutron capture by Monte Carlo method.

Materials and Methods: A ^{252}Cf brachytherapy source AT model was simulated by Monte Carlo method code MCNPX and its TG-43 parameters were calculated and compared with previous corresponding data. This ^{252}Cf brachytherapy source was used as a neutron source in neutron capture therapy. Dose enhancement factor was compared in tumour in presence of ^{10}B , ^{157}Gd , ^{10}B nanoparticles and ^{157}Gd nanoparticles for the concentrations of 100, 200 and 500 ppm of each capture agents in neutron capture. For this aim, around the ^{252}Cf source, a spherical soft tissue phantom and a tumour containing each capture agents were considered.

Results: Calculated air kerma strength and dose rate constant for ^{252}Cf source equals to 0.306 cGy cm²/h μ g and 5.782 cGy/Uh respectively. Among examined agents, maximum DEF belonged to ^{10}B and ^{10}B nanoparticles in concentration of 500 ppm. These values were reported as 1.06 and 1.08 respectively.

Conclusion: IN this study, air kerma strength and dose rate constant indicate difference of %7.27 and %1.10 with other corresponding values. In dose enhancement point of view, capture agents containing ^{10}B are more useful in neutron capture therapy. In the same concentrations, dose enhancement factor for capture agents in nanoparticles form is higher than the presence of capture agents in atomic form. So, it is preferable to use of nanoparticle capture agent rather than atomic form. However, it should be noted that before clinical usage of this agents, other medical, chemical and physical criteria should be considered, for their comparison, in selection of capture agents in neutron capture therapy.

Keywords: nanoparticles, dose enhancement factor, neutron capture therapy, Monte Carlo simulation.